

# 축소 라운드 SHACAL-2의 연관키 공격\*

김 종 성,† 김 구 일, 이 상 진, 임 종 인‡

고려대학교 정보보호기술연구센터

## Related-Key Attacks on Reduced Rounds of SHACAL-2\*

Jongsung Kim,† Guil Kim, Sangjin Lee, Jongin Lim‡

Center for Information of Security Technologies, Korea University  
요 약

SHACAL-2는 해쉬 알고리즘 SHA-2의 압축 함수에 기반을 둔 최대 512 비트 키 크기를 가지는 256 비트 블록 암호이다. 최근에 SHACAL-2는 NESSIE 프로젝트의 256 비트 블록 암호에 선정되었다. 본 논문에서는 연관키를 이용한 두 가지 형태의 연관키 차분-비선형 공격과 연관키 Rectangle 공격에 대한 SHACAL-2의 안전성을 논의한다. 연관키 차분-비선형 공격 기법을 통하여 512 비트 키를 사용하는 35-라운드 SHACAL-2를 분석하고, 연관키 렉탱글 공격 기법을 통하여 512 비트 키를 사용하는 37-라운드 SHACAL-2를 분석한다. 본 논문에서 소개하는 512 비트 키를 가지는 37-라운드 SHACAL-2 연관키 렉탱글 공격은 SHACAL-2 블록 암호에 알려진 분석 결과 중 가장 효과적이다.

### ABSTRACT

SHACAL-2 is a 256-bit block cipher with up to 512 bits of key length based on the hash function SHA-2. It was submitted to the the NESSIE project and was recommended as one of the NESSIE selections. In this paper, we present two types of related-key attacks called the related-key differential-(non)linear and the related-key rectangle attacks, and we discuss the security of SHACAL-2 against these two types of attacks. Using the related-key differential-nonlinear attack, we can break SHACAL-2 with 512-bit keys up to 35 out of its 64 rounds, and using the related-key rectangle attack, we can break SHACAL-2 with 512-bit keys up to 37 rounds.

**Keywords :** SHACAL-2, Related-Key Differential-Nonlinear Attacks, Related-Key Rectangle Attacks

### 1. 서 론

SHACAL-2<sup>[5]</sup>는 해쉬 알고리즘 SHA-2의 압축 함수에 기반한 256 비트 블록 암호이다. 64 라운드로 구성된 SHACAL-2는 최대 512 비트 키 크기를 가지며, 최근 NESSIE(New European Schemes

for Signatures, Integrity, and Encryption) 프로젝트에 256 비트 블록 암호로 선정되었다.

현재까지 SHACAL-2 블록 암호에 대한 가장 효과적인 암호 분석 결과는 차분-비선형 특성을 이용한 32-라운드 SHACAL-2 공격이다<sup>[8]</sup>. [8]에 의해 소개된 공격은 14-라운드 부정 차분 특성과 마지막 3 라운드의 비선형 관계식을 이용한 17-라운드 차분-비선형 특성을 기반으로 하고 있다. 본 논문에서 소개하는 공격 또한 [8]의 마지막 3 라운드의 비선형 관계식을 이용한다.

본 논문에서는 연관키 공격의 두 가지 형태를 소

접수일 : 2005년 3월 30일 ; 채택일 : 2005년 6월 10일

\* 본 연구는 고려대학교 특별연구비에 의하여 수행 되었습니다.

† 주저자 : joshep@cist.korea.ac.kr

‡ 교신저자 : jilim@korea.ac.kr

개한다. 하나는 연관키 차분-비선형 특성을 이용한 공격이며, 다른 하나는 연관키 렉탱글 특성을 이용한 공격이다. 두 가지 공격에 대한 일반적인 형태를 살펴본 후 SHACAL-2의 분석 결과를 소개한다.

연관키 차분-선형 공격<sup>(6)</sup>은 확률 1을 가지는 연관키 차분-선형 특성을 이용한다. 하지만 본 논문에서는 특성 확률이 1보다 작은 경우로 일반화하여 공격 적용 가능성을 향상시킨다. 또한 선형 특성 부분을 비선형 특성으로 일반화한 연관키 차분-비선형 특성을 이용한 연관키 차분-비선형 공격 가능성을 소개하며, 공격 적용 가능성을 더욱 향상시킨다. 본 공격을 SHACAL-2에 적용 결과 연관키 차분-비선형 특성을 사용하여  $2^{42.32}$  연관키 선택 평문과  $2^{451.1}$  시간 복잡도를 가지고 전수조사 보다 빠르게 35-라운드 SHACAL-2를 공격할 수 있다.

연관키 렉탱글 공격<sup>(9)</sup>은 두 가지 형태의 연관키 렉탱글 특성을 이용할 수 있다. 본 논문에서는 두 가지 형태의 연관키 렉탱글 특성 중 SHACAL-2에 더욱 쉽게 적용할 수 있는 한 가지 특성을 적용한다. 본 공격을 SHACAL-2에 적용 결과 연관키 렉탱글 특성을 사용하여  $2^{233.16}$  연관키 선택 평문과  $2^{484.95}$  시간 복잡도를 가지고 전수조사 보다 빠르게 37-라운드 SHACAL-2를 공격할 수 있다. 본 논문의 분석과 기존 SHACAL-2 분석 결과의 비교는 표 1과 같다.

표 1. SHACAL-2의 분석 결과 비교

| 공격 유형         | 라운드 | 복잡도<br>데이터 / 시간 / 메모리                                   |
|---------------|-----|---|
| 불능 차분 공격      | 30  | 744 CP / $2^{495.1}$ / $2^{14.5}$ [7]                   |
| 차분-비선형 공격     | 32  | $2^{43.4}$ CP / $2^{504.2}$ / $2^{48.4}$ [8]            |
| 포화-비선형 공격     | 28  | $463 \cdot 2^{32}$ CP / $2^{494.1}$ / $2^{45.9}$ [8]    |
| 연관키 차분-비선형 공격 | 35  | $2^{42.32}$ RK-CP / $2^{452.10}$ / $2^{47.32}$ [본 논문]   |
| 연관키 렉탱글 공격    | 37  | $2^{233.16}$ RK-CP / $2^{484.95}$ / $2^{238.16}$ [본 논문] |

## II. 표기법 및 SHACAL-2

본 절에서는 본 논문에 전반적으로 사용하는 표기법을 정리하고, SHACAL-2 블록 암호를 간략하게 소개한다. 또한 본 논문의 연관키 차분-비선형 공격에 사용하는 SHACAL-2의 3-라운드 비선형 관계

식<sup>(7,8)</sup>을 요약한다.

### 2.1. 표기법

본 소절에서는 표기법을 정의한다. 단, 워드의 비트 위치는 가장 오른쪽 최하위 비트부터 0으로 시작하며, 왼쪽으로 갈수록 커진다.

- $P$  : 256 비트 평문,  $P = (A, B, \dots, H)$  또는  $P = (A^0, B^0, \dots, H^0) = P^0c$ .
- $P^r$  :  $r$ 번째 라운드의 256 비트 입력 값,  $P^r = (A^r, B^r, \dots, H^r)$ .
- $x_i^r$  : 32 비트 워드  $X^r$ 의  $i$ 번째 비트,  $X^r \in \{A^r, B^r, \dots, H^r, W^r, K^r, T_1^r\}$ .
- $?$  : 알 수 없는 값
- $e_i$  :  $i$ 번째 비트를 제외한 모든 비트가 0인 32 비트 워드.
- $e_{i_1, \dots, i_k}$  :  $e_{i_1} \oplus \dots \oplus e_{i_k}$
- $e_{i_1, \dots, i_k, \dots}$  :  $i_1, \dots, i_k$ 번째 자리의 값은 1,  $(i_k + 1) \sim 31$ 번째 자리의 값은 0, 1, 또는 알 수 없는 값이고,  $i_1 < \dots < i_k$ 의  $i_1, \dots, i_k$ 를 제외한 자리의 값은 0인 32 비트 워드.

### 2.2. SHACAL-2 블록 암호 소개

H. Handschuch와 D. Naccache에 의해 제안된 SHACAL-2<sup>(5)</sup>는 해쉬 함수 알고리즘 SHA-2<sup>(13)</sup>의 압축 함수에 기반을 두었으며, 다양한 키 길이(최대 512 비트)를 가지는 256 비트 블록 암호이다. SHACAL-2 암호화 과정은 다음과 같다.

256 비트 평문은 여덟 개의 32 비트 워드  $A, B, C,$

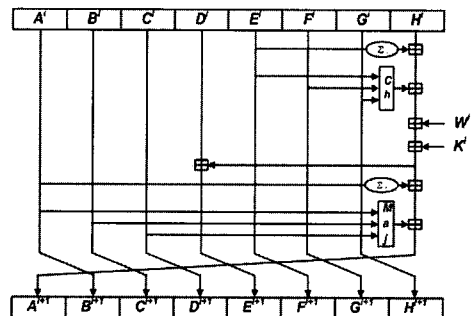


그림 1. SHACAL-2의  $i$ 번째 라운드 암호화 과정

$D, E, F, G, H$ 로 분할된다. 32 비트 워드  $X^i$ 를  $i$  번째 라운드 입력 값이라 하면, 평문  $P$ 는  $A^0, B^0, C^0, D^0, E^0, F^0, G^0, H^0$ 으로 표현되며, 64 라운드 과정을 거친 후 암호문은  $A^{64}, B^{64}, C^{64}, D^{64}, E^{64}, F^{64}, G^{64}, H^{64}$ 이다.  $i(=0, \dots, 63)$  번째 라운드 암호화 과정은 다음과 같다(그림 1 참조).

$$\begin{aligned} T_1^{i+1} &= H^i + \Sigma_1(E^i) + Ch(E^i, F^i, G^i) \\ &\quad + K^i + W^i \\ T_2^{i+1} &= \Sigma_0(A^i) + Maj(A^i, B^i, C^i) \\ H^{i+1} &= G^i \\ G^{i+1} &= F^i \\ F^{i+1} &= E^i \\ E^{i+1} &= D^i + T_1^{i+1} \\ D^{i+1} &= C^i \\ C^{i+1} &= B^i \\ B^{i+1} &= A^i \\ A^{i+1} &= T_1^{i+1} + T_2^{i+1} \end{aligned}$$

+는 범  $2^{32}$  덧셈을 의미하며,  $W^i$ 는 32 비트 라운드 키,  $K^i$ 는 32 비트 라운드 상수 값이다. 위에 정의된  $i$  번째 라운드 암호화 과정에 사용하는 함수는 다음과 같다.

$$\begin{aligned} Ch(X, Y, Z) &= (X \& Y) \oplus (\neg X \& Z) \\ Maj(X, Y, Z) &= (X \& Y) \oplus (X \& Z) \oplus (Y \& Z) \\ \Sigma_0(X) &= S_2(X) \oplus S_{13}(X) \oplus S_{22}(X) \\ \Sigma_1(X) &= S_6(X) \oplus S_{11}(X) \oplus S_{25}(X) \end{aligned}$$

$\neg X$ 는 32 비트 워드  $X$ 의 보수를 의미하며,  $S_i(X)$ 는 32 비트 워드  $X$ 의  $i$ 비트 오른쪽 순환을 의미한다(즉,  $S_i(X) = X \gg i$ ).

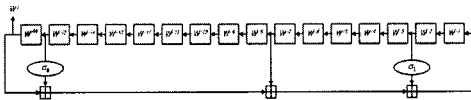


그림 2. SHACAL-2의 라운드 키 생성 과정

SHACAL-2의 키는 최대 512 비트까지 허용되며 512 비트 보다 작은 키에 대해서는 0 스트링을 패딩하여 총 512 비트를 생성한 후 사용한다. 하지만 SHACAL-2는 128 비트 보다 작은 키의 사용은 지양한다. 512 비트 키 스트링을  $W = [W^0 \| W^1 \dots \| W^{25}]$ 와 같이 표시하면, 2048 비트 키 확장 과정은

다음과 같다(그림 2 참조).

$$\begin{aligned} W^i &= \sigma_1(W^{i-2}) + W^{i-7} + \sigma_0(W^{i-15}) \\ &\quad + W^{i-16}, (16 \leq i \leq 63), \\ \sigma_0(x) &= S_7(x) \oplus S_{18}(x) \oplus R_3(x) \\ \sigma_1(x) &= S_{17}(x) \oplus S_{19}(x) \oplus R_{10}(x) \end{aligned}$$

$R_i(x)$ 는 32 비트 워드  $x$ 의  $i$ 비트 오른쪽 쉬프트를 의미한다(즉,  $R_i(x) = x \gg i$ ).

### 2.3. SHACAL-2의 3-라운드 비선형 관계식

본 소절에서는 SHACAL-2의 3-라운드 비선형 관계식<sup>[7,8]</sup>을 요약한다.

$h_0^r$ 는 비선형 함수  $NF(A^{r+3}, B^{r+3}, \dots, H^{r+3}, K^r, K^{r+1}, K^{r+2}, W^r, W^{r+1}, W^{r+2})$ 의 출력 값으로 표현할 수 있다. 이 함수를 간단하게  $NF^{r+3}$ 로 표시한다. 단,  $0 \leq r \leq 61$ .

$$\begin{aligned} h_0^r &= c_0^{r+3} \oplus d_2^{r+3} \oplus d_{13}^{r+3} \oplus d_{22}^{r+3} \oplus (d_0^{r+3} \& (e_0^{r+3} \\ &\quad \oplus t_{1,0}^{r+3})) \oplus (d_0^{r+3} \& (f_0^{r+3} \oplus t_{1,0}^{r+2})) \\ &\quad \oplus ((e_0^{r+3} \oplus t_{1,0}^{r+3}) \& (f_0^{r+3} \oplus t_{1,0}^{r+2})) \\ &\quad \oplus (h_0^{r+3} \oplus h_0^{r+2}) \oplus ((\neg h_0^{r+3}) \& h_0^{r+1}) \\ &\quad \oplus h_6^{r+2} \oplus h_{11}^{r+3} \oplus h_{25}^{r+3} \oplus k_0^r \oplus w_0^r \end{aligned}$$

위 비선형 방정식의  $h_0^{r+1}, t_{1,0}^{r+2}, h_0^{r+2}, t_{1,0}^{r+3}$ 은 다음과 같이 표현할 수 있다.

$$\begin{aligned} h_0^{r+1} &= t_{1,0}^{r+2} \oplus g_6^{r+3} \oplus g_{11}^{r+3} \oplus g_{25}^{r+3} \oplus (g_0^{r+3} \& h_0^{r+3}) \\ &\quad \oplus ((\neg g_0^{r+3}) \& h_0^{r+2}) \oplus k_0^{r+1} \oplus w_0^{r+1} \\ t_{1,0}^{r+2} &= b_0^{r+3} \oplus c_2^{r+2} \oplus c_{13}^{r+3} \oplus c_{22}^{r+3} \oplus (c_0^{r+3} \& d_0^{r+3}) \\ &\quad \oplus (c_0^{r+3} \& (e_0^{r+3} \oplus t_{1,0}^{r+3})) \oplus (d_0^{r+3} \\ &\quad \& (e_0^{r+3} \oplus t_{1,0}^{r+3})) \\ h_0^{r+2} &= t_{1,0}^{r+3} \oplus f_6^{r+3} \oplus f_{11}^{r+3} \oplus f_{25}^{r+3} \oplus (f_0^{r+3} \& g_0^{r+3}) \\ &\quad \oplus ((\neg f_0^{r+3}) \& h_0^{r+3}) \oplus k_0^{r+2} \oplus w_0^{r+2} \\ t_{1,0}^{r+3} &= a_0^{r+3} \oplus b_2^{r+3} \oplus \end{aligned}$$

본 논문에서 소개하는 SHACAL-2의 연관키 차분-비선형 공격을 효과적으로 표현하기 위해서  $MNF^{r+3}$  함수를 사용한다. 단,  $MNF^{r+3} = NF^{r+3} \oplus k_0^r \oplus w_0^r$ .

### III. 연관키 공격

본 절에서는 블록 암호를 분석하는데 유용한 도구 중 하나인 연관키 공격<sup>(2)</sup>의 두 가지 형태를 소개한다. 먼저, 연관키 차분-선형 공격을 소개하고, 본 논문에서 이용하는 연관키 차분-비선형 공격으로의 확장 과정을 설명한다. 다음은 연관키 렉탱글 공격 방법의 일반적인 형태를 소개한다.

#### 3.1. 연관키 차분-비선형 공격

1994년 Langford와 Hellman<sup>(10)</sup>은 차분 공격<sup>(1)</sup>과 선형 공격<sup>(11)</sup>을 결합하는 차분-선형 공격 방법을 소개하였다. 이 공격은 확률 1의 차분 특성과 바이어스  $q$ 를 갖는 선형 근사식을 이용한다. Biham, Dunkleman, Keller<sup>(3)</sup>는 차분 특성 확률이 1보다 작은 경우에도 차분-선형 공격을 가능하도록 일반화한 향상된 차분-선형 공격을 소개하였다. [8]에서 선형 근사식 바이어스  $q$ 가  $1/2$ 이거나,  $1/2$ 에 매우 근접할 때, 차분 특성 대신 포화 특성을 이용할 수 있는 포화-선형 공격을 소개하였다. 또한 [8]에서는 위의 모든 공격은 선형 특성의 이용 대신 비선형 특성을 이용할 수 있음을 보였다. 즉, 1994년에 소개된 차분-선형 공격은 현재까지 다양한 일반화된 형태로 발전되고 있다.

1998년 Hawkes<sup>(6)</sup>는 연관키와 차분-선형 공격을 결합한 연관키 차분-선형 공격을 소개하였다. 여기서 사용된 공격은 확률 1의 연관키 차분 특성과 바이어스  $1/2$ 의 선형 근사식을 이용한다. 하지만 연관키 차분-선형 공격은 차분-선형 공격의 발전과 유사하게 확률 1보다 작은 차분 특성과 바이어스가  $1/2$ 보다 작은 선형 근사식을 이용할 수 있도록 일반화가 가능하다. 더구나 연관키 차분-선형 공격은 비선형 관계식을 이용할 수 있는 경우로 확장할 수 있으며, 이를 연관키 차분-비선형 공격이라 부른다.

연관키 차분-선형 공격은 키  $k$ 에 대한 평문  $P$ 와 키  $k^*$ 에 대한 평문  $P^*$ 의 암호문 쌍을 요구한다. 단,  $k$ 와  $k^*$ 는 서로 다르지만, 연관된 키이다. 차분 특성을 표현하기 위하여 본 논문에서는 입력 차분을  $\Omega_P$ 으로, 출력 차분을  $\Omega_T$ 으로 표기한다. 또한 선형 근사식을 표현하기 위하여 입력 비트 마스크, 출력 비트 마스크, 부분 키 비트 마스크를 각각  $\lambda_P$ ,  $\lambda_T$ ,  $\lambda_K$ 으로 표기한다.

블록 암호  $E_k: 0,1^n \rightarrow 0,1^n$ 가 두 개의 부분 암호  $E_k^0$ ,  $E_k^1$ 의 합성 형태  $E_k = E_k^1 \circ E_k^0$ 로 표현된다고 가정하자.  $E_k$ 를 함수  $E: \{0,1\}^{|k|} \times \{0,1\}^n \rightarrow \{0,1\}^n$ 로 나타낸다면, 위의 가정 하에  $E$ 는  $E^0, E^1$ 의 합성 형태  $E = E^1 \circ E^0$ 으로 표현할 수 있다.  $E^0$ 에 확률  $p^* \leq 1$ 의 연관키 차분 특성  $\Omega_P \rightarrow \Omega_T$  (즉,  $\Pr_X[E_k^0(X) \oplus E_k^0(X^*)] = \Omega_T | X \oplus X^* = \Omega_P = p^*$ )이 존재한다고 가정한다. 그리고  $E^1$ 에 확률  $\frac{1}{2} + q$  또는 바이어스  $q$ 의 선형 특성  $\lambda_P \rightarrow \lambda_T$  (즉,  $\Pr_X[\lambda_P \cdot X \oplus \lambda_T \cdot E^1(X) \oplus \lambda_K \cdot K = 0] = \frac{1}{2} + q$ . 단,  $K$ 는 부분 키)이 존재한다고 가정한다.  $P$ 와  $P^*$ 를 차분 조건  $P \oplus P^* = \Omega_P$ 을 만족하는 평문 쌍이라 가정할 때, 평문쌍  $P$ 와  $P^*$ 가 확률  $p^*$ 의 차분 특성  $\Omega_P \rightarrow \Omega_T$ 을 만족하는 경우에 확률 1의 한 비트 방정식  $\lambda_P \cdot (E_k^0(P) \oplus E_k^0(P^*)) = a$ 을 얻을 수 있다. 단,  $a$ 의 값은 0 또는 1이며,  $a = \lambda_P \cdot \Omega_T$ 이다.

만약 평문쌍  $P$ 와  $P^*$ 가 확률  $1-p^*$ 의 차분 특성  $\Omega_P \rightarrow \Omega_T$ 을 만족하지 않는 경우에 한 비트 식  $\lambda_P \cdot (E_k^0(P) \oplus E_k^0(P^*))$ 은 랜덤한 값을 갖는다. 위의 두 경우를 고려하여 다음과 같은 확률  $\frac{1}{2} + \frac{p^*}{2}$  ( $= p^* \cdot 1 + (1-p^*) \cdot \frac{1}{2}$ )의 한 비트 방정식을 얻을 수 있다.

$$\lambda_P \cdot (E_k^0(P) \oplus E_k^0(P^*)) = a \quad (1)$$

위의  $E^1$ 의 선형 근사식의 존재 가정에 따라 다음과 같은 확률  $\frac{1}{2} + q$  또는 바이어스  $q$ 의 갖는 선형 근사식 두 개를 얻을 수 있다.

$$\lambda_P \cdot E_k^0(P) \oplus \lambda_T \cdot E_k^1(E_k^0(P)) \oplus \lambda_K \cdot K = 0 \quad (2)$$

$$\lambda_P \cdot E_k^0(P^*) \oplus \lambda_T \cdot E_k^1(E_k^0(P^*)) \oplus \lambda_K \cdot K^* = 0 \quad (3)$$

따라서, [11]에 소개된 piling up lemma를 사용하여 확률  $\frac{1}{2} + 2p^*q^2 (= \frac{1}{2} + 2^{3-1} \cdot \frac{p^*}{2} \cdot q^2)$ 을 갖는 선형 근사식을 다음과 같이 얻을 수 있다.

$$\lambda_T \cdot E_k^1(E_k^0(P)) \oplus \lambda_T \cdot E_k^1(E_k^0(P^*)) \oplus \lambda_K \cdot K \oplus \lambda_K \cdot K^* = a \quad (4)$$

즉, 바이어스  $2p^*q^2$ 의 다음 선형 근사식을 얻을 수 있다.

$$\lambda_T \cdot E_k(P) \oplus \lambda_T \cdot E_k(P^*) = 0 \quad (5)$$

따라서 (5)을 이용한 선형 공격을 수행하기 위해서  $O(p^{*-2}q^{-4})$  개의 연관키 선택 평문쌍을 요구한다.

위에서 언급하였다시피 연관키 차분-선형 공격은 선형 근사식 대신에 비선형 관계식을 이용할 수 있다. 본 논문에서는 이를 연관키 차분-비선형 특성이라 명한다.

### 3.2. 연관키 렉탱글 공격

2004년 연관키<sup>[2]</sup>와 렉탱글<sup>[4]</sup> 공격을 결합한 연관키 렉탱글 공격이 소개되었다<sup>[9]</sup>. 연관키 렉탱글 공격의 주는 연속된 두 개의 차분 특성을 사용하는 것이다. 단, 하나는 연관키 차분 특성이고, 다른 하나는 차분 특성을 이용한다. 따라서 본 공격은 확률이 높은 연관키 차분 특성에 높은 확률을 갖는 차분 특성을 연결하여 구성할 수 있을 때 매우 유용하다.

위와 같이 블록 암호  $E_k : 0,1^n \rightarrow 0,1^n$ 가 두 개의 부분 암호  $E_k^0, E_k^1$ 의 합성 형태  $E_k = E_k^1 \circ E_k^0$ 로 표현된다고 가정하자.  $E^0$ 에 확률  $p_\beta^*$ 의 연관키 차분 특성  $\alpha \rightarrow \beta$ 이 존재한다고 가정하자. 즉,  $\Pr_X[E_k^0(X) \oplus E_k^0(X^*) = \beta | X \oplus X^* = \alpha] = p_\beta^*$ 이며,  $k, k^*$ 는 서로 다르지만, 연관된 키이다. 그리고  $E^1$ 에 확률  $q_\gamma$ 의 차분 특성  $\gamma \rightarrow \delta$ 이 존재한다고 가정하자. 즉,  $\Pr_X[E_k^1(X) \oplus E_k^1(X') = \delta | X \oplus X' = \gamma] = q_\gamma$ .

연관키 렉탱글 특성은 몇 가지의 차분 조건을 만족하는 4개의 평문 쌍  $(P_i, P_i^*, P_j, P_j^*)$ 에 의해 생성된다.  $P_i, P_j$ 는  $E_k$ 에 의해,  $P_i^*, P_j^*$ 는  $E_{k^*}$ 에 의해 암호화 될 때, 차분 조건  $P_i \oplus P_i^* = P_j \oplus P_j^* = \alpha$ 이 성립한다고 가정하자. 평문  $P_i, P_i^*, P_j, P_j^*$ 에 대한  $E^0$ 의 암호문을 각각  $X_i, X_i^*, X_j, X_j^*$ 라 하고,  $X_i, X_i^*, X_j, X_j^*$ 에 대한  $E^1$ 의 암호문을 각각  $C_i, C_i^*, C_j, C_j^*$ 라 하자. 위의 가정 하에

차분 조건  $X_i \oplus X_i^* = X_j \oplus X_j^* = \beta$ 와  $X_i \oplus X_j = \gamma$ 를 만족한다면,  $X_i^* \oplus X_j^* = (X_i \oplus \beta) \oplus (X_j \oplus \beta) = \gamma$ 이 성립한다. 만약 위의 차분 조건 하에 암호문 쌍  $C_i, C_j$ 와  $C_i^*, C_j^*$ 이 차분  $\delta$ 를 만족한다면(즉,  $C_i \oplus C_j = C_i^* \oplus C_j^* = \delta$ ). 위의 4개의 평문 쌍  $(P_i, P_i^*, P_j, P_j^*)$ 을 올바른 quartet이라 부른다. 또한, 차분 조건  $X_i \oplus X_i^* = X_j \oplus X_j^* = \beta$ 와  $X_i \oplus X_j^* = \gamma$ 를 만족한다면,  $X_i^* \oplus X_j = (X_i \oplus \beta) \oplus (X_j^* \oplus \beta) = \gamma$ 이 성립한다. 만약 암호문 쌍  $C_i, C_j^*$ 와  $C_i^*, C_j$ 이 차분  $\delta$ 를 만족한다면(즉,  $C_i \oplus C_j^* = C_i^* \oplus C_j = \delta$ ). 이러한 모든 차분 조건을 만족하는 4개의 평문 쌍  $(P_i, P_i^*, P_j, P_j^*)$  또한 올바른 quartet이라 부른다. 올바른 quartet은 그림 3에 나타나 있다. 더욱 일반적으로 올바른 quartet은 주어진 차분 값  $\alpha$ 와  $\delta$ 에 대해 임의의  $\beta$ 와  $\gamma$  차분 값에 따라 만족한다.

차분  $\alpha$ 를 만족하는  $m$ 개의 평문 쌍(키  $k$ 를 사용하는 한 평문과 키  $k^*$ 를 사용하는 다른 한 평문)이 있다고 가정하자. 부분 암호  $E^0$ 을 통해 연관키 차분 특성  $\alpha \rightarrow \beta$ 를 만족하는 쌍은 약  $mp_\beta^*$ 개이며,  $mp_\beta^*$ 개의 평

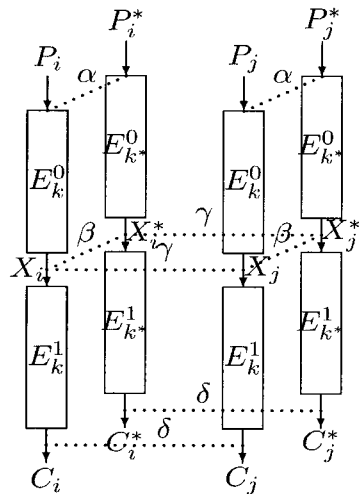


그림 3. 연관키 Rectangle Distinguisher-1

문 쌍은 약  $\frac{(mp_\beta^*)^2}{2}$ 개의 quartet을 생성한다. 블록 암호의 암호화 과정에서 중간 과정의 값이 랜덤하게 분포한다고 가정하면, 확률  $2^{-n}$ 으로 차분  $X_i \oplus X_j = \gamma$ 를 얻는다. 이 경우에 올바른 quartet이 되기 위해

$X_i, X_j$ 와  $X_i^*, X_j^*$ 는 확률  $q_\gamma$ 를 갖는 차분 특성  $\gamma \rightarrow \delta$ 을 만족해야 한다. 따라서 차분  $\alpha$ 를 만족하는  $m$ 개의 평균 쌍에 대한 올바른 quartet의 평균 기대값은 다음과 같다. 단,  $\hat{p}^* = (\sum_{\beta} (p_{\beta}^*)^2)^{\frac{1}{2}}$ ,  $\hat{q} = (\sum_{\gamma} (q_{\gamma})^2)^{\frac{1}{2}}$ .

$$\sum_{\beta, \gamma} \frac{(mp_{\beta}^*)^2}{2} \cdot 2^{-n} \cdot (q_{\gamma})^2 = m^2 \cdot 2^{-n-1} \cdot (\hat{p}^*)^2 \cdot (\hat{q})^2$$

랜덤 치환 함수인 경우에 올바른 quartet의 평균 기대값은 약  $m^2 \cdot 2^{-2n-1} (= \binom{m}{2} \cdot 2^{-2n})$ 이므로, 만약  $\hat{p}^* \cdot \hat{q} > 2^{-n/2}$ 을 만족하고,  $m$ 이 충분히 크다면, 연관키 렉텔글 특성을 갖는  $E$ 와 랜덤 치환 함수는 구별 가능하다.

### N. 35-라운드 SHACAL-2에 대한 연관키 차분-비선형 공격

본 절에서는 SHACAL-2의 28-라운드 연관키 차분-비선형 특성을 구성하는 방법을 소개한 후, 이 특성을 이용한 35-라운드 SHACAL-2의 연관키 차분-비선형 공격을 설명한다.

2.2절에서 설명하였다시피 SHACAL-2의 키 스케줄 알고리즘은 선형 귀환 쉬프트 레지스터를 기반으로 수행한다. 하지만, 키 스케줄 알고리즘은 처음 몇 라운드에 대해 차분 확산 효과가 작다. 즉, 6라운드 키  $W^6$ 를 제외하고 모두 같은 연관키를 고려할 때, 확장 키  $W^{16}, W^{17}, \dots, W^{20}$ 은 모두 같으며,  $W^{21}$ 은  $e_{13, \sim}$  차분 값을 가지며,  $W^{22}$ 는  $e_{31}$  차분 값을 갖는다. 이러한 연관키 차분 특성은 높은 확률로 성립하는 25-라운드 연관키 부정 차분 특성을 구성할 수 있게 해준다. 다시 말해서, 확률  $2^{-16}$ 으로 만족하는 라운드  $0 \sim 24(E^0)$ 에 대한 25-라운드 부정 차분 특성  $\Omega_P \rightarrow \Omega_T$ 을 구성할 수 있다. 단,

$$\Omega_P = (0, e_{31}, 0, 0, e_{6,20,25}, 0, 0, e_{9,13,19}),$$

$$\Omega_T = (?, ?, ?, e_{13, \sim}, ?, ?, ?, e_{13, \sim})$$

| $A, A^*$                | $C, C^*$                | $F, F^*$  | $G, G^*$  |
|-------------------------|-------------------------|---|---|
| $a_{31} = a_{31}^* = 0$ | $c_{31} = c_{31}^* = 0$ | $f_6 = f_6^* = 0,$<br>$f_{20} = f_{20}^* = 0,$<br>$f_{25} = f_{25}^* = 0$ | $g_6 = g_6^* = 0,$<br>$g_{20} = g_{20}^* = 0,$<br>$g_{25} = g_{25}^* = 0$ |

표 2. 평균 쌍  $P, P^*$ 의 고정 비트

| 라운드<br>( $i$ )   | $\Delta A'$    | $\Delta B'$    | $\Delta C'$    | $\Delta D'$    | $\Delta E'$    | $\Delta F'$    | $\Delta G'$    | $\Delta H'$    | $\Delta W'$    | 확률        |
|------------------|----------------|----------------|----------------|----------------|----------------|----------------|----------------|----------------|----------------|-----------|
| 입력<br>( $i=0$ )  | 0              | $e_{31}$       | 0              | 0              | $e_{6,20,25}$  | 0              | 0              | $e_{9,13,19}$  | 0              | $2^{-13}$ |
| 1                | 0              | 0              | $e_{31}$       | 0              | 0              | $e_{6,20,25}$  | 0              | 0              | 0              | $2^{-1}$  |
| 2                | 0              | 0              | 0              | $e_{31}$       | 0              | 0              | $e_{6,20,25}$  | 0              | 0              | $2^{-3}$  |
| 3                | 0              | 0              | 0              | 0              | $e_{31}$       | 0              | 0              | $e_{6,20,25}$  | 0              | $2^{-4}$  |
| 4                | 0              | 0              | 0              | 0              | 0              | $e_{31}$       | 0              | 0              | 0              | $2^{-1}$  |
| 5                | 0              | 0              | 0              | 0              | 0              | 0              | $e_{31}$       | 0              | 0              | $2^{-1}$  |
| 6                | 0              | 0              | 0              | 0              | 0              | 0              | 0              | $e_{31}$       | $e_{31}$       | 1         |
| 7                | 0              | 0              | 0              | 0              | 0              | 0              | 0              | 0              | 0              | 1         |
| $\vdots$         | $\vdots$       | $\vdots$       | $\vdots$       | $\vdots$       | $\vdots$       | $\vdots$       | $\vdots$       | $\vdots$       | $\vdots$       | $\vdots$  |
| 20               | 0              | 0              | 0              | 0              | 0              | 0              | 0              | 0              | 0              | 1         |
| 21               | 0              | 0              | 0              | 0              | 0              | 0              | 0              | 0              | $e_{13, \sim}$ | 1         |
| 22               | $e_{13, \sim}$ | 0              | 0              | 0              | $e_{13, \sim}$ | 0              | 0              | 0              | $e_{31}$       | 1         |
| 23               | ?              | $e_{13, \sim}$ | 0              | 0              | ?              | $e_{13, \sim}$ | 0              | 0              | ?              | 1         |
| 24               | ?              | ?              | $e_{13, \sim}$ | 0              | ?              | ?              | $e_{13, \sim}$ | 0              | ?              | 1         |
| 출력<br>( $i=25$ ) | ?              | ?              | ?              | $e_{13, \sim}$ | ?              | ?              | ?              | $e_{13, \sim}$ |                |           |

표 3. SHACAL-2의 25-라운드( $E^0$ ) 연관키 부정 차분 특성

이며, 평균 쌍  $P, P^*$ 은 표 2과 같이 고정된 비트 값을 갖는다. 연관키 부정 차분 특성 경로에 대한 자세한 내용은 표 3를 참고하라.

위에 소개한 25-라운드 연관키 부정 차분 특성은 확률  $\frac{1}{2} + 2^{-17} (= 2^{-16} + \frac{1}{2} \cdot (1 - 2^{-16}))$ 을 만족하는 선형 특성으로 바꾸어 적용할 수 있다. 즉, 만약 평균쌍  $P, P^*$ 가 차분  $(0, e_{31}, 0, 0, e_{6,20,25}, 0, 0, e_{9,13,19})$ 을 만족하고, [표 2]와 같은 고정 값을 갖는다면, 확률  $\frac{1}{2} + 2^{-17}$ 으로  $h_0^{25} = h_0^{*25}$ 을 만족한다. 확률  $\frac{1}{2} + 2^{-17}$ 을 확인하기 위하여  $2^{34}$  평균 쌍을 이용하여 다섯 번의 시뮬레이션을 수행하였다.

각 시뮬레이션은 무작위 연관키 쌍과 평균 쌍을 가지고 수행하였다. 25-라운드 특성은 확률  $\frac{1}{2} + 2^{-17}$ 을 만족하기 때문에,  $2^{34}$  평균 쌍 중  $h_0^{25} = h_0^{*25}$ 을 만족하는 평균 쌍의 개수의 기대값은 약  $2^{33} + 131072 (= 2^{34} \cdot (\frac{1}{2} + 2^{-17}))$ 이다. 다섯 번의 시뮬레이션 결과는  $2^{33} + 128629, 2^{33} + 130921, 2^{33} + 1138897, 2^{33} + 143916,$

위의 25-라운드 특성 식에 앞서 설명한 3 라운드 비선형 관계식을 연결함으로써 더욱 강력한 특성 식을 얻을 수 있다. 주어진 평균 쌍  $P, P^*$ 는  $\frac{1}{2}+2^{-17}$ 의 근사 확률을 가지고  $h_0^{25} = h_0^{*25}$ 을 만족한다. 이에 3 라운드 비선형 관계식을 이용하여 확률  $\frac{1}{2}+2^{-17}$ 으로  $NF^{28} = NF^{*28}$ 을 만족하는 28-라운드 특성식을 구성할 수 있다. 같은 의미로 선형 근사 바이어스  $2^{-17}$ 을 만족하는 다음 식으로 나타낼 수 있다.

$$MNF^{28} = MNF^{*28} \tag{6}$$

따라서 확률  $\frac{1}{2}+2^{-17}$ 을 만족하는 28-라운드 연관 키 차분-비선형 특성을 구성할 수 있다.

다음 과정은 28-라운드 연관키 차분-비선형 특성을 이용하여 35-라운드 SHACAL-2의 연관키를 찾는 방법을 소개한다.

**알고리즘 1**

- 1) 차분  $\Omega_P$ 를 만족하고 8비트 고정 값을 갖는  $2^{39}$ 개의 평문쌍  $(P_{i,j}, P_{i,j}^*), i=0,1,\dots,4, j=0,1,\dots,2^{39}-1$ 으로 이루어진 5 개의 집합을 선택한다. 단, 임의의 두 집합  $i$ 에 대해서 평문 쌍은 모두 다르게 선택한다. 여기서  $P_{i,j}$ 는 키  $k$ 를 사용하여 암호화 하며,  $P_{i,j}^*$ 는 키  $k$ 와 차분  $(0,0,0,0,0,0, e_{31},0,0,0,0, 0,0,0,0,0)$ 을 갖는 키  $k^*$ 를 사용하여 암호화 한다. 평문 쌍의 선택 후  $2^{39}$ 개의 평문 쌍으로 이루어진 5개의 집합을 키  $k, k^*$ 를 사용하여 암호문 쌍  $(C_{i,j}, C_{i,j}^*), i=0,1,\dots,4, j=0,1,\dots,2^{39}-1$ 을 요구한다.
- 2) 207 비트 부분 키 쌍  $(sk, sk^*)$ 를 추측한다. 부분 키  $sk$ 는  $W^{34}, W^{33}, W^{32}, W^{31}, w_0^{30}, w_1^{30}, w_0^{29}, w_1^{29}, w_0^{28}, w_1^{28}, w_0^{27}, w_1^{27}, w_0^{26}, w_1^{26}, w_0^{25}, w_1^{25}, w_0^{24}, w_1^{24}, w_0^{23}, w_1^{23}, w_0^{22}, w_1^{22}, w_0^{21}, w_1^{21}, w_0^{20}, w_1^{20}, w_0^{19}, w_1^{19}, w_0^{18}, w_1^{18}, w_0^{17}, w_1^{17}, w_0^{16}, w_1^{16}, w_0^{15}, w_1^{15}, w_0^{14}, w_1^{14}, w_0^{13}, w_1^{13}, w_0^{12}, w_1^{12}, w_0^{11}, w_1^{11}, w_0^{10}, w_1^{10}, w_0^9, w_1^9, w_0^8, w_1^8, w_0^7, w_1^7, w_0^6, w_1^6, w_0^5, w_1^5, w_0^4, w_1^4, w_0^3, w_1^3, w_0^2, w_1^2, w_0^1, w_1^1$ 을 다른 부분 키  $sk^*$ 는  $W^{34}, W^{33}, W^{32}, W^{31}, w_0^{30}, w_1^{30}, w_0^{29}, w_1^{29}, w_0^{28}, w_1^{28}, w_0^{27}, w_1^{27}, w_0^{26}, w_1^{26}, w_0^{25}, w_1^{25}, w_0^{24}, w_1^{24}, w_0^{23}, w_1^{23}, w_0^{22}, w_1^{22}, w_0^{21}, w_1^{21}, w_0^{20}, w_1^{20}, w_0^{19}, w_1^{19}, w_0^{18}, w_1^{18}, w_0^{17}, w_1^{17}, w_0^{16}, w_1^{16}, w_0^{15}, w_1^{15}, w_0^{14}, w_1^{14}, w_0^{13}, w_1^{13}, w_0^{12}, w_1^{12}, w_0^{11}, w_1^{11}, w_0^{10}, w_1^{10}, w_0^9, w_1^9, w_0^8, w_1^8, w_0^7, w_1^7, w_0^6, w_1^6, w_0^5, w_1^5, w_0^4, w_1^4, w_0^3, w_1^3, w_0^2, w_1^2, w_0^1, w_1^1$ 을 표현한다. 주어진 35-라운드 SHACAL-2의 연관키 암호문 쌍으로부터  $\Delta MNF^{28}$ 을 계산하기 위해서 207비트

키의 추측만으로 충분하다.

- 3)  $i=0,1,\dots,4$ 에 대해서 다음을 수행한다.

추측한 부분 키  $sk$ 를 사용하여 모든  $2^{39}$ 개의 암호문  $C_{i,j}$ 를 부분적으로 복호화 하고 추측한 부분 키  $sk^*$ 를 사용하여 모든  $2^{39}$ 개의 암호문  $C_{i,j}^*$ 를 부분적으로 복호화 하여 식 (6)의 성립여부를 판단한다. 만약 식 (6)을 만족하는 암호문 쌍의 개수가  $2^{38} - 2^{21.6}$ 보다 크고  $2^{38} + 2^{21.6}$ 보다 작다면 단계 2로 돌아간다.

단계 3까지 통과한 부분 키  $sk$ 에 대해 나머지 305 비트 키에 대한 전수조사를 수행한다. 이 과정을 통과한다면, 512 비트 키  $k'$ 를 35-라운드 SHACAL-2의 마스터 키로  $k' \oplus (0,0,0,0,0,0, e_{31},0,0,0,0,0,0,0,0,0)$ 를 연관된 512 비트 마스터 키로 출력한다. 그렇지 않다면, 단계 2로 돌아간다. 207 비트 부분키 쌍  $(sk, sk^*)$ 을 모두 테스트 했음에도 불구하고  $k'$ 가 출력 되지 않는다면, 알고리즘 1은 출력 값 없이 종료한다.

알고리즘 1의 데이터 복잡도는  $2^{42.32} (\approx 5 \cdot 2 \cdot 2^{39})$  연관키 선택 평문을 요구하며, 공격에 사용되는 메모리는 암호문 쌍  $(C_{i,j}, C_{i,j}^*)$ 의 저장 공간에 의존하므로 약  $2^{47.32} (= 5 \cdot 2 \cdot 2^{39} \cdot \frac{256}{8})$  바이트를 요구한다.

또한 알고리즘 1의 계산 복잡도는 다음과 같이 평가할 수 있다. 단계 1의 계산 복잡도는  $2^{42.32}$ 번의 35-라운드 SHACAL-2 암호화 연산이다(데이터 수집 단계). 단계 3의 계산 복잡도를 평가하기 위해서 각각의  $i$ 에 대해서 생존하는 부분 키 쌍  $(sk, sk^*)$ 의 비율을 계산하여야 한다. 랜덤 치환 함수인 경우 각 쌍은 랜덤하게 보이기 때문에, 올바르게 않게 추측한 부분 키 쌍에 대해서는 전체 암호문 쌍 중 평균 절반이 식 (6)을 만족한다. 그러므로 식 (6)을 만족하는 평문 쌍의 개수는 이항 분포  $X \sim Bin(2^{39}, \frac{1}{2})$ 를 따른다. 이항분포는 쉽게 정규 분포로 근사할 수 있다. 즉,  $X \sim N(\mu, \sigma^2)$ . 단,  $\mu = 2^{38}, \sigma^2 = 2^{37}$ . 따라서  $Z(= \frac{X-\mu}{\sigma}) \sim N(0,1)$ 이고,

$$Pr [X \geq 2^{38} + 2^{21.6} \text{ or } X \leq 2^{38} - 2^{21.6}] = Pr [Z \geq 8.5742 \text{ or } Z \leq -8.5742] \approx 2^{-53.27}$$





앞에 설명하였다시피 연관키 Rectangle 특성은  $E^1$ 에 대해 연관키 차분 특성이 아닌 차분 특성을 이용한다. 즉,  $E^1$ 에 대해서는 라운드 키의 차분 확산 효과를 고려할 필요가 없다. 따라서  $E^1$ 에 대한 확률  $2^{-74}$ 로 10-라운드(23 ~ 32) 차분 특성  $\gamma \rightarrow \delta$ 를 구성할 수 있다. 단,

$$\gamma = (0, e_{9,18,29}, 0, 0, e_{31}, e_{6,9,18,20,25,29}, 0, 0).$$

$$\delta = (e_{11,23}, e_{3,14,15,24,25}, e_{5,27}, e_{9,18,29}, e_{31}, 0, 0, 0)$$

이다. 차분 특성 경로에 대한 자세한 내용은 표 6을 참고하라.

표 6. SHACAL-2의 10-라운드( $E^1$ ) 차분 특성 ( $M = \{3, 14, 15, 24, 25\}$ )

| 라운드 ( $i$ ) | $\Delta A^i$  | $\Delta B^i$  | $\Delta C^i$  | $\Delta D^i$  | $\Delta E^i$ | $\Delta F^i$ | $\Delta G^i$ | $\Delta H^i$ | 확률        |
|-------------|---------------|---------------|---------------|---------------|--------------|--------------|--------------|--------------|-----------|
| 23          | 0             | $e_{9,18,29}$ | 0             | 0             | $e_{31}$     | $e_M$        | 0            | 0            | $2^{-13}$ |
| 24          | 0             | 0             | $e_{9,18,29}$ | 0             | 0            | $e_{31}$     | $e_M$        | 0            | $2^{-10}$ |
| 25          | $e_{31}$      | 0             | 0             | $e_{9,18,29}$ | $e_{31}$     | 0            | $e_{31}$     | $e_M$        | $2^{-10}$ |
| 26          | 0             | $e_{31}$      | 0             | 0             | 0            | $e_{31}$     | 0            | $e_{31}$     | $2^{-2}$  |
| 27          | 0             | 0             | $e_{31}$      | 0             | 0            | 0            | $e_{31}$     | 0            | $2^{-2}$  |
| 28          | 0             | 0             | 0             | $e_{31}$      | 0            | 0            | 0            | $e_{31}$     | 1         |
| 29          | $e_{31}$      | 0             | 0             | 0             | 0            | 0            | 0            | $e_{31}$     | $2^{-4}$  |
| 30          | $e_{9,18,29}$ | $e_{31}$      | 0             | 0             | 0            | 0            | 0            | 0            | $2^{-6}$  |
| 31          | $e_{5,27}$    | $e_{9,18,29}$ | $e_{31}$      | 0             | 0            | 0            | 0            | 0            | $2^{-12}$ |
| 32          | $e_M$         | $e_{5,27}$    | $e_{9,18,29}$ | $e_{31}$      | 0            | 0            | 0            | 0            | $2^{-15}$ |
| 33          | $e_{11,23}$   | $e_M$         | $e_{5,27}$    | $e_{9,18,29}$ | $e_{31}$     | 0            | 0            | 0            |           |

표 7. SHAHCAL-2의 10-라운드( $E^1$ ) 차분 특성에 사용한 확률에 따른 차분 특성 개수

| 확률(p)    | $2^{-74}$ | $2^{-75}$ | $2^{-76}$ | $2^{-77}$ | ... |
|----------|-----------|-----------|-----------|-----------|-----|
| 차분 특성 개수 | 15        | 60        | 236       | 440       | ... |

$\hat{p}^*$ 를 계산하기 위해  $E^0$ 의 입력 차분  $\alpha$ 를 갖는 모든 연관키 차분 특성 확률을 계산하여야 한다. 또한  $\hat{q}$ 를 계산하기 위해  $E^1$ 의 출력 차분  $\delta$ 를 갖는 모든 차분 특성 확률을 계산하여야 한다. 하지만 모든 특성 경로를 고려하는 것은 계산적으로 불가능하기 때문에  $E^0(E^1)$ 에 대한  $\hat{p}^*(\hat{q})$ 의 하한 값을 계산하기 위해 가능한 많은 연관키 차분 특성(차분 특성)을 고려하여야 한다. 하지만 분석 결과  $E^0$ 의 입

력 차분  $\alpha$ 를 갖는 임의의 23-라운드 연관키 차분 특성 확률은  $2^{-31}$ 보다 너무 작다. 따라서  $E^0$ 의 연관키 차분 특성 확률의 하한 값을  $2^{-31}$ 으로 결정할 것이다.  $\hat{q}$ 의 하한 값을 계산하기 위해  $E^1$ 의 10-라운드 차분 특성 확률에서 마지막 9-라운드 특성이 같은 다양한 입력 차분 값을 고려하였다. 표 7은 확률에 따른 존재하는 차분 특성의 개수를 나타낸다. 결과적으로  $\hat{p}^*$ 의 하한 값은  $2^{-31}$ 이며,  $\hat{q}$ 의 하한 값은  $2^{-71.16}$ 으로 증가시킬 수 있다. 연관키 Rectangle 특성 확률  $\hat{p}^* \cdot \hat{q} (\approx 2^{-102.16})$ 은  $2^{-128}$ 보다 크기 때문에, 구성된 33-라운드 연관키 Rectangle 특성은 33-라운드 SHACAL-2와 랜덤 치환 함수를 구별할 수 있는 특성이 될 수 있다. 다음 과정은 33-라운드 연관키 Rectangle 특성을 이용하여 37-라운드 SHACAL-2의 연관키를 찾는 방법을 소개한다.

### 알고리즘 2

- 1) 차분  $\alpha$ 를 만족하고 22비트 고정 값을 갖는  $2^{232.16}$ 개의 평균 쌍  $(P_i, P_i^*), i=0, 1, \dots, 2^{232.16}-1$ 을 선택한다. 여기서  $P_i$ 는 키  $k$ 를 사용하여 암호화 하며,  $P_i^*$ 는 키  $k$ 와 차분  $(0, 0, 0, 0, 0, 0, 0, 0, e_{31}, 0, 0, 0, 0, 0, 0, 0, 0)$ 을 갖는 키  $k^*$ 를 사용하여 암호화 한다. 평균 쌍의 선택 후 키  $k, k^*$ 를 사용하여 암호문 쌍  $(C_i, C_i^*)$ 을 요구한다.
- 2) 128 비트 부분 키 쌍  $sk (= W^{33}, W^{34}, W^{35}, W^{36}), sk^* (= W^{*33}, W^{*34}, W^{*35}, W^{*36})$ 를 추측한다.
- 3) 추측한 부분 키  $sk$ 를 사용하여 36 ~ 33 라운드에 대한 모든  $C_i$ 를 부분 복호화를 수행한다. 또한 추측한 부분 키  $sk^*$ 를 사용하여 36 ~ 33 라운드에 대한 모든  $C_i^*$ 를 부분 복호화를 수행한다. 부분 복호화를 수행하여 얻은 복호문  $T_i, T_i^*$ 를 해쉬 테이블에 저장한다.
- 4) 모든  $i_1, i_2$ 에 대해  $T_{i_1} \oplus T_{i_2} = T_{i_1}^* \oplus T_{i_2}^* = \delta$ 을 테스트 한다. 단,  $0 \leq i_1 < i_2 \leq 2^{232.16} - 1$ . 만약  $\delta$  값을 테스트 하였을 때, 성립하는 개수가 6보다 크다면, 그때의 모든  $(T_{i_1}, T_{i_2}, T_{i_1}^*, T_{i_2}^*)$ 와 추측한 128 비트 부분 키  $sk$ 를 저장한다. 만약 그렇지 않다면, 단계 2로 돌아간다.
- 5) 두 개의 32 비트 부분 키  $W^{32}, W^{*32}$ 를 추측한다. 추측한 부분 키  $W^{32}$ 를 사용하여 32 라운드에 대한 모든  $T_i, T_i^*$ 의 부분 복호화를 수

행하여,  $T'_{i_1}, T'_{i_2}$ 에 저장한다. 또한 추측한 부분 키  $W^{*32}$ 를 사용하여 32 라운드에 대한 모든  $T_{i_1}^*, T_{i_2}^*$ 의 부분 복호화를 수행하여  $T_{i_1}^*, T_{i_2}^*$ 에 저장한다. 만약 모든  $T_{i_1}^*, T_{i_2}^*$ 와  $T_{i_1}^{**}, T_{i_2}^{**}$ 이 차분  $(e_{3,14,15,24,25}, e_{5,27}, e_{9,18,29}, e_{31}, 0, 0, 0, 0)$ 을 만족한다면,  $T_{i_1}^*, T_{i_2}^*, T_{i_1}^{**}, T_{i_2}^{**}$ 와 추측한 부분 키  $W^{*32}$ 를 저장한다. 만약 그렇지 않다면, 단계 5로 돌아간다. 만약 모든 추측한  $W^{*32}, W^{*32}$ 에 대해서도 주어진 차분을 만족하지 않는다면, 단계 2로 돌아간다.

- 6) 두 개의 32 비트 부분 키  $W^{*31}, W^{*31}$ 를 추측한다. 추측한 부분 키  $W^{*31}$ 를 사용하여 31 라운드에 대한 모든  $T'_{i_1}, T'_{i_2}$ 의 부분 복호화를 수행하여,  $T''_{i_1}, T''_{i_2}$ 에 저장한다. 또한 추측한 부분 키  $W^{*31}$ 를 사용하여 31 라운드에 대한 모든  $T_{i_1}^*, T_{i_2}^*$ 의 부분 복호화를 수행하여  $T_{i_1}^{**}, T_{i_2}^{**}$ 에 저장한다. 만약 모든  $T''_{i_1}, T''_{i_2}$ 와  $T_{i_1}^{**}, T_{i_2}^{**}$ 이 차분  $(e_{5,27}, e_{9,18,29}, e_{31}, 0, 0, 0, 0)$ 을 만족한다면, 추측한 부분 키  $W^{*31}$ 를 저장한다. 만약 그렇지 않다면, 단계 6으로 돌아간다. 만약 모든 추측한  $W^{*31}, W^{*31}$ 에 대해서도 주어진 차분을 만족하지 않는다면, 단계 5 또는 2로 돌아간다. 즉, 만약  $sk, sk^*$ 에 대해 추측하지 않은  $W^{*32}, W^{*32}$ 가 존재한다면, 단계 5로 아닌 경우에는 단계 2로 돌아간다.
- 7) 단계 6까지 통과한 부분 키  $sk, W^{*32}, W^{*31}$ 에 대해 나머지 320 비트 키에 대한 전수조사를 수행한다. 이 과정을 통과한다면, 512 비트 키  $k'$ 를 37-라운드 SHACAL-2의 마스터 키로  $k' \oplus (0, 0, 0, 0, 0, 0, 0, 0, e_{31}, 0, 0, 0, 0, 0, 0)$ 를 연관된 512 비트 마스터 키로 출력한다.

알고리즘 2의 데이터 복잡도는  $2^{233.16}$  연관키 선택 평문을 요구하며, 공격에 사용되는 메모리는 암호문 쌍 저장 공간에 의존하므로 약  $2^{238.16} (= 2^{233.16} \cdot 32)$  바이트를 요구한다.

또한 알고리즘 2의 계산 복잡도는 다음과 같이 평가할 수 있다. 단계 1의 계산 복잡도는  $2^{233.16}$  37-라운드 SHACAL-2 암호화 연산이다(데이터 수집 단계). 단계 3의 계산 복잡도는 평균  $2^{484.95}$

$(\approx 2^{233.16} \cdot 2^{256} \cdot \frac{1}{2} \cdot \frac{4}{37})$  번의 37-라운드 SHACAL-2 암호화 연산이다. 단계 4에서 모든 가능한 각각의  $(T_{i_1}, T_{i_2}, T_{i_1}^*, T_{i_2}^*)$ 의  $\delta$  차분 성립 여부를 테스트 한다. 이는 해쉬 테이블을 이용하여 효과적으로 수행할 수 있다. 유사하게 해쉬 테이블은 단계 5.6의 나타난 차분 값을 평가하는데에도 효과적으로 사용할 수 있다. 단계 4에서 올바르지 않은 추측 키가 적어도 6개의  $(T_{i_1}, T_{i_2}, T_{i_1}^*, T_{i_2}^*)$ 에 대해  $\delta$  차분 성립 여부 테스트를 통과하는 확률은 약

$$2^{-59.22} (\approx \sum_{i=6}^t {}_t C_i \cdot (2^{-256.2})^i \cdot (1 - 2^{-256.2})^{t-i})$$

이다. 단,  $t$ 는  $2^{32.15}$ 개의 평균 쌍으로부터 유도되는 모든 가능한 quartet의 개수를 표현하는  $2^{463.32}$ 이다. 따라서 단계 4를 통과하는 128 비트 부분 키 쌍의 기댓값은 평균  $2^{95.78} (\approx 2^{256} \cdot \frac{1}{2} \cdot 2^{-59.22})$ 이다.

통과하는  $2^{95.78}$ 개의 부분 키 쌍을 걸러내는 방법 중 하나로, 단계 5.6을 사용한다. 부가적으로 알고리즘 2는 단계 5.6을 수행함으로써 64 비트 부분 키를 얻을 수 있다. 올바르지 않은 키 쌍  $W^{*32}, W^{*32}$ 이 단계 5를 만족할 확률은 기껏해야  $2^{-180} (= (2^{-15})^{12})$ 이다. 확률  $2^{-15}$ 는 표 6의 32~33 라운드에 표기된 1 라운드 차분 특성을 만족하기 위해 요구되는 수치이며, 단계 5에서 테스트 하는 quartet의 개수가 적어도 6이상이라는 점에서 계산된 확률이다. 따라서 단계 5에서 통과하는 160비트 부분 키 쌍  $((sk, W^{*32}), (sk^*, W^{*32}))$ 의 기댓값은  $2^{79.78} (\approx 2^{95.78} \cdot 2^{64} \cdot 2^{-180})$ 이고, 단계 5의 계산 복잡도는 약  $2^{256.16} (\approx 2^{95.78} \cdot 2^{64} \cdot 12 \cdot \frac{1}{37})$ 번의 37-라운드 SHACAL-2 암호화 연산이다. 유사하게 단계 6은 통과한  $2^{79.78}$  부분 키 쌍을 걸러내기 위해 표 6의 31~32 라운드에 표기된 1 라운드 차분 특성을 이용한다. 1 라운드 차분 특성 확률은  $2^{-12}$ 이고, 단계 6에서 테스트 하는 quartet의 개수는 적어도 6 이상이기 때문에, 통과하는 192비트 부분 키 쌍  $((sk, W^{*32}, W^{*31}), (sk^*, W^{*32}, W^{*31}))$ 의 기댓값은  $2^{-0.22} (\approx 2^{79.78} \cdot 2^{64} \cdot (2^{-12})^{12})$ 이고, 단계 6의 계산 복잡도는 약  $2^{42.16} (\approx 2^{79.78} \cdot 2^{64} \cdot 12 \cdot \frac{1}{37})$ 번의 37-라운드 SHACAL-2 암호

화 연산이다. 단계 7의 계산 복잡도는  $2^{320}$  37-라운드 SHACAL-2 암호화 과정을 요구하기 때문에, 알고리즘 2의 전체 계산 복잡도는 약  $2^{484.95}$  ( $\approx 2^{233.16} + 2^{484.95} + 2^{256.16} + 2^{142.16} + 2^{320}$ ) 번의 35-라운드 SHACAL-2 암호화 연산이다.

알고리즘 2는 앞서 설명한 확률  $(\hat{p}^* \cdot \hat{q})^2$  ( $\approx (2^{-102.16})^2$ )으로 만족하는 33-라운드 연관키 Rectangle 특성을 이용하였기 때문에, 올바른 quartet의 기대값은 약  $2^3$  ( $= {}_{2^{220}}C_2 \cdot 2^{-256} \cdot (2^{-102.16})^2$ )이다. 올바른 부분 키 쌍이 단계 5,6을 만족하는 확률은 1이다. 그러므로 알고리즘 2의 성공 확률, 즉, 올바른 부분 키 쌍을 가지고  $\delta$  차분 성립 여부 테스트를 통과하는 적어도 6개 이상의 quartet이 생성될 확률은 약  $0.80$  ( $\approx \sum_{i=6}^t (2^{-256} \cdot (2^{-102.16})^2)^i \cdot (1 - 2^{-256} \cdot (2^{-102.16})^2)^{t-i}$ )이다. 단,  $t$ 는  $2^{463.32}$ 이다.

**VI. 결 론**

본 논문은 향상된 연관키 차분-선형 공격을 소개하고, 이를 연관키 차분-비선형 공격으로 확장 적용하였다. 연관키 차분-비선형 공격을 이용하여  $2^{42.32}$  연관키 선택 평문의 데이터 복잡도와  $2^{452.1}$ 의 계산 복잡도를 가지고 35-라운드 SHACAL-2를 공격하였다. 또한 본 논문에서는 연관키 Rectangle 공격을 이용하여  $2^{233.16}$  연관키 선택 평문의 데이터 복잡도와  $2^{484.95}$ 의 계산 복잡도를 가지고 37-라운드 SHACAL-2를 공격하였다. 이는 SHACAL-2에 대한 가장 효과적인 분석 결과이다. 본 논문은 연관키 관련 공격을 이용하여 SHACAL-2의 분석 결과를 소개하였다.

본 고에서 알 수 있듯이 비교적 단순한 키 스케줄을 갖는 블록 암호의 경우는 연관키 공격 관점에서 안전성 평가가 이루어질 필요가 있다.

**참 고 문 헌**

[1] E. Biham and A. Shamir, "Differential cryptanalysis of the full 16-round DES", *Advances in Cryptology - CRYPTO'92*, LNCS 740, pp. 487-496, Springer-Verlag, 1992.

[2] E. Biham, "New Types of Cryptanalytic Attacks Using Related Keys", *Journal of Cryptology*, Vol. 7, No. 4, pp. 229-246, 1994.

[3] E. Biham, O. Dunkelman and N. Keller, "Enhanced Differential-Linear Cryptanalysis," *Advances in Cryptology - ASIACRYPT'02*, LNCS 2501, pp. 254-266, Springer-Verlag, 2002.

[4] E. Biham, O. Dunkelman and N. Keller, "Rectangle Attacks on 49-Round SHACAL-1," *FSE '03*, LNCS 2887, pp. 22-35, Springer-Verlag, 2003.

[5] H. Handschuh and D. Naccache, "SHACAL : A Family of Block Ciphers," Submission to the NESSIE project, 2002.

[6] P. Hawkes, "Differential-Linear Weak-Key Classes of IDEA," *Advances in Cryptology - EUROCRYPT'98*, LNCS 1403, pp. 112-126, Springer-Verlag, 1998.

[7] 홍석희, 김종성, 김구일, 이상진, 성재철, 이상진, "30 라운드 SHACAL-2의 불능 차분 공격", *정보보호학회논문지*, 14(3), pp. 107-115, 2004.

[8] 김구일, 김종성, 홍석희, 이상진, 임종인, "축소 라운드 SHACAL-2의 차분-선형 유형 공격", *정보보호학회논문지*, 15(1), pp. 57-66, 2005.

[9] 김종성, 김구일, 홍석희, 이상진, "SHACAL-1의 축소 라운드에 대한 연관키 Rectangle 공격", *정보보호학회논문지*, 14(5), pp. 57-68, 2005..

[10] S. K. Langford and M.E. Hellman, "Differential-Linear Cryptanalysis," *Advances in Cryptology - CRYPTO'94*, LNCS 839, pp. 17-25, Springer-Verlag, 1994.

[11] M. Matsui, "Linear Cryptanalysis Method for DES Cipher," *Advances in Cryptology - EUROCRYPT'93*, LNCS 765, pp. 386-397, Springer-Verlag, 1994.

[12] A. A. Selcuk and A. Bicak, "On Probability of Success in Linear and Differential Cryptanalysis," *SCN'00*, LNCS 2576, pp. 174-185, Springer-Verlag, 2002.

[13] U.S. Department of Commerce. *FIPS 180-2: Secure Hash Standard*, Federal Information Processing Standards Publication, N.I.S.T., August 2002.

### 〈著者紹介〉



**김 종 성 (Jong-Sung Kim)**

2000년 8월: 고려대학교 수학과 학사  
 2002년 8월: 고려대학교 수학과 석사  
 2002년 8월~현재: 고려대학교 정보보호대학원 박사 과정  
 <관심분야> 블록 암호 및 스트림 암호의 분석과 설계



**김 구 일 (Gu-il Kim)**

2002년 2월 : 고려대학교 수학과 학사  
 2002년 9월 : 고려대학교 정보보호대학원 석사 과정  
 <관심분야> 블록 암호 및 스트림 암호의 분석과 설계



**이 상 진 (Sangjin Lee)**

1987년 2월: 고려대학교 수학과 학사  
 1989년 2월: 고려대학교 수학과 석사  
 1994년 2월: 고려대학교 수학과 박사  
 1989년 2월~1999년 2월: 한국전자통신연구원 선임 연구원.  
 1999년 2월~2001년 8월: 고려대학교 자연과학대학 조교수,  
 2001년 9월~현재: 고려대학교 정보보호대학원 부교수  
 <관심분야> 대칭키 암호의 분석 및 설계, 정보은닉이론, 컴퓨터 포렌식



**임 종 인 (Jongin Lim)**

1980년 2월: 고려대학교 수학과 학사  
 1982년 2월: 고려대학교 수학과 석사  
 1986년 2월: 고려대학교 수학과 박사  
 1999년 2월~현재: 고려대학교 정보보호대학원 원장, 고려대학교 정보보호기술연구센터 센터장  
 <관심분야> 정보보호이론, 정보보호정책